

] 10 5r •

KAWASAKI STEEL GIHO

Vol.13 (1981) No.2

SA 508 Class 4 6+5δ b0 4

Manufacture of SA 508 Class 4 Steel forgings

^4 Š ‡ M(Toshikazu Tobe) 1 Å 1æ e(Hidefumi Tani) Ç f 4 (Susumu
Matsui) "•5 •Å (Seimei Karino)

O[" :

SA 508 Class4 \ K Z0d 1€•- [Q#Ý I €•9x } È t6+5δ †0 4 K(á ° K S G
b6+5δ c M D € S µ "\$x ö2A † w K>* ? X P K <!Ö #. _ | •8 ö Ž i v#Ö L ^ 8 v b
[6 W S I } _!Ö v] K+\$ i Ø æ [b Q#Ý _ P M • S u * Si i † è0! K S) Ý>* Si
b 0.25>#>|0.03># l b * ö c « , µ É i i Ü å ç _ | •+\$ i c b8 ö í † vTs \ K Z 35>|
40 ¥ 5 • M • @>* l Ø 3>|4kgf/mm2 * W I O • G \ @ f ? W S Si * ö _ | • l Ø b * W
† C >| g Ni b Q5 [/ö ~ K S 400mm *x L b6+4 †0è 8 K S) Ý>* l Ø0d A † 62 Š K>*
? X « , µ i i Ü å ç _ | •+\$ i c b8 ö b, ö ^ SA508 Class4 6+5δ b0 4 @ •+
[6 • G \ @& 1 [A S

Synopsis :

The forgings specified as SA 508 Class 4 for the high pressure water tank have been manufactured and delivered, which have good mechanical properties and are free of embrittlement by simulated post-weld heat treatment. An investigation has been made for reducing the silicon content, so that this steel can be used at high temperature which will embrittle this steel. Consequently, it has been clarified that reducing the silicon content from 0.25% to 0.03% improves the toughness after embrittling by step cooling as dropping by 35 to 45 % of vTs, but decreases the strength by 3 to 4 kgf/mm**2. The experimental low silicon content forgings whose drop in strength was compensated by increasing carbon and nickel contents have satisfied the strength requirements and show good toughness after embrittling by step cooling.

(c)JFE Steel Corporation, 2003

Manufacture of SA 508 Class 4 Steel forgings

戸 部 俊 一* 犬 重 明**

Toshikazu Tobe

Hidefumi Tani

松 居 進***

狩 野 征 明***

Susumu Matsui

Seimei Karino

Synopsis:

The forgings specified as SA 508 Class 4 for the high pressure water tank have been manufactured and delivered, which have good mechanical properties and are free of embrittlement by simulated post-weld heat treatment.

An investigation has been made for reducing the silicon content, so that this steel can be used at high temperature which will embrittle this steel. Consequently, it has been classified that reducing the silicon content

高压水槽部材であるシェル材の形状を Fig. 1 に示す。

転炉-LRF (Ladle Refining Furnace) プロセ

および機械的性質を Table 1 に示す。

鋼塊に造塊した。溶鋼分析結果を Table 2 に示す。

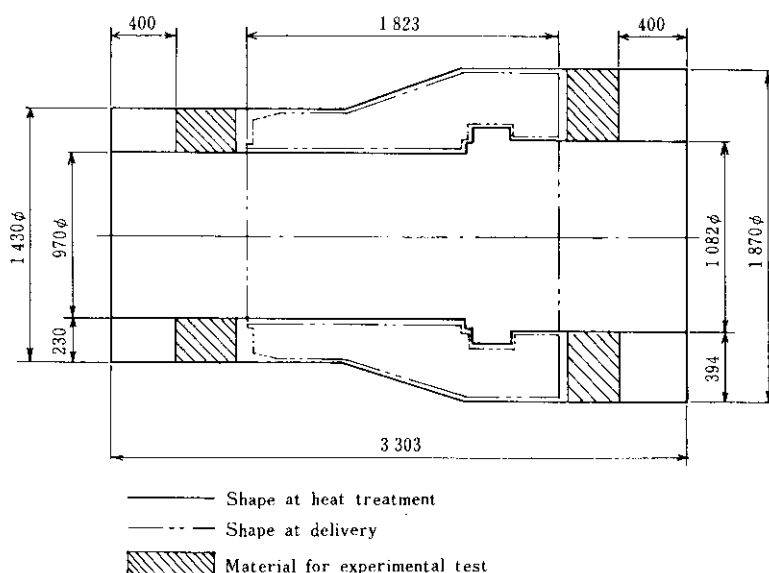


Fig. 1 Shape at heat treatment and delivery of the shell for the high pressure water tank

化学成分の設定にあたっては規格範囲の比較的狭い8 h保持し均一にオーステナイト化した後水中

らい、Cについては強度と韌性の面から0.16%NiおよびCrについては溶接性を考慮して規格範囲の

を行った。なお焼もどし後の冷却は水冷とした。調質後、機械加工により製品本体と確性試験材を

ここで T は温度(K), t は時間(h)である。しかし靶性に対しても調査の水準内ではほとんどその影響は認められない。

次に PWHT 後の冷却速度の靶性におよぼす影響を 394mm 肉厚 1/4 部および 230mm 肉厚 1/4 部について調査した結果を Fig. 7 に示す。試験の範囲内では顕著な傾向は認められない。Fig. 8 に材料を PWHT 温度から空冷した場合の板厚と冷却速度の関係を示すが、これから今回製造したシェル材の PWHT 後の冷却速度を推定すると約 60°C/h となり、Fig. 7 から靶性劣化の懸念はない。

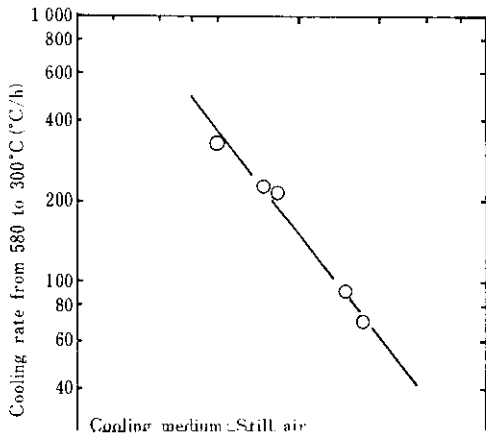


Table 4 Chemical composition of the materials for simulation test

(%)

	C	Si	Mn	P	S	Ni	Cr	Mo	V
Si added	0.16	0.25	0.28	0.005	0.002	3.10	1.63	0.50	0.005
Si less	0.16	0.03	0.26	0.006	0.002	3.08	1.65	0.48	0.006

を $5^{\circ}\text{C}/\text{min}$ および $20^{\circ}\text{C}/\text{min}$ の 2 水準に変化させた。 強さとともに焼入れ冷却速度の低下あるいは焼もどし温度の上昇によって強度が増加する現象は、Si 添加材において認められた。

$^{\circ}\text{C}/\text{min}$ は 250mm 肉厚中心の水冷時冷却速度に相当する。 Si 添加材は $25^{\circ}\text{C}/\text{min}$ の場合、無添加材に比べて強度が増加する現象は認められなかった。

向は Si の有無あるいは脆化処理の有無によらず同様である。同一熱処理条件では Si 無添加鋼の νT_s は添加鋼に比べ約 25°C 低いが、この差は

により、脆化後でも安全な靭性値が得られるという効果をもつことが実験室的に確かめられた。そこで本機械用鋼の供試材は、添加鋼に比べて强度が若干劣るが、

脆化処理後においても同じである。Fig. 10 にはステップクーリングによる脆化量も合せて示すが、焼入れ冷却速度が 20°C/min の場合 Si 量による差は認められないが、5°C/min の場合 Si 無添加鋼の方が添加鋼に比べ 5~10°C 少ない。しかしこの差は

こととした。

真空溶解により 5 t 鋼塊を得、430 t × 800 w × 1000 l (mm) に鍛造し、予備熱処理として焼ならし一焼もどしを行い、機械加工により厚みを 400 mm に減厚した後調質処理に供した。試作材の化学成分および熱処理条件を Table 5 に示す。供試材は

小さい。

よる強度低下を補うため、高圧水槽用シェル材の

引張強度は 1,000 kg/mm² 以上と規定する。

Table 5 Chemical composition and heat treatment of the experimental forging without silicon added

Chemical composition (%)	C	Si	Mn	P	S	Ni	Cr	Mo	V	As	Sn	Sb
	0.18	0.03	0.33	0.005	0.003	3.76	1.61	0.56	0.006	0.002	0.001 Max.	0.0004
Heat treatment	Quenching		860 °C × 8 h, Water quenching									
	Tempering		610 °C × 8 h, Water cooling									

るのでFig.15に示される靭性の差は化学成分の差とみなせる。靭性レベルおよびステップクーリングによる脆化量の焼入性冷却速度依存傾向は鋼

焼もどし脆化感受性が高いゆえに、その製造上の取扱いがむずかしいとされていたSA 508 Class

で異なるが、これは低Si化による固溶硬化の低下とCおよびNiの増量による焼入性の向上とのバラ

はすぐれたものであり当初懸念されたPWHT後の冷却による靭性劣化も生じないものであることが